

②ダクトの非線形形状：ひびわれは図5に示す順序で発生しており、ひびわれ発生変位は約5mm程度である。また、鉄筋降伏は、隔壁で土槽頂部変位8mm時点で生じている（図5）。その後、ひびわれ発生順序とほぼ同じ順序で降伏している。土槽頂部変位30mmまでに、すべての隅角部で鉄筋降伏する結果となった。

③土圧作用：直土圧については、土圧の増加傾向は、ある程度の土槽頂部変位になると鈍化し、変曲点がひびわれ発生時の5mm程度の時と、側壁等の部材全体で鉄筋降伏が起こる10mmから15mm程度の2カ所で現れる。これは、構造物の非線形化により土圧の増分が鈍化したことを裏付ける結果と考える（図6）。

せん断土圧についても、直土圧と同様の傾向である（図7）。

④終局状態：大きなせん断変形を土槽に与えていった場合でも、構造物及び地盤の非線形化による荷重増分の鈍化などにより、断面の破壊には至らなかった。

⑤設計との対応：従来は、設計において構造物の非線形化を無視しているが、単純に一樣な剛性低下を考慮することにより、より実現象（実験結果）に近い設計が可能になる（表1参照）。

4. まとめ

実験結果より、地盤と構造物の連成挙動、構造物のひびわれと鉄筋降伏による非線形化が確認できた。設計においてこの非線形化を考慮することにより設計荷重を低減でき、合理的な設計が可能になると思われる。

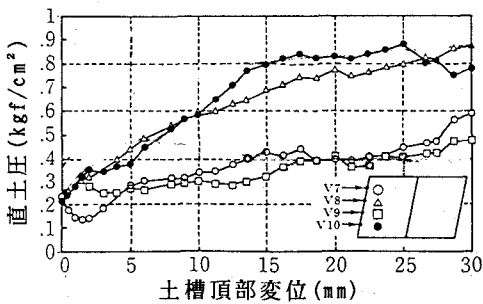


図6 ダクトに加わる直土圧

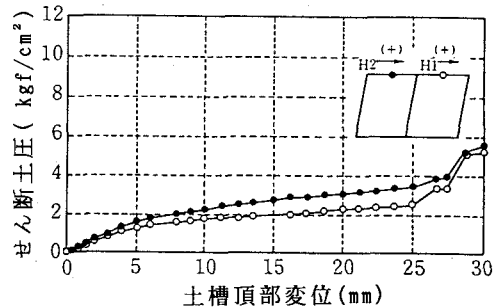


図7 ダクトに加わるせん断土圧

表1 設計変位と実験結果の比較

設計における剛性の仮定	全断面有効剛性	一律50%剛性低下	実験結果
土槽頂部変位(mm)	3.6	5.5	8.0(初鉄筋降伏時)

【謝辞】本研究は、電力共通研究「限界状態を考慮したAクラス土木構造物の耐震設計に関する研究」の一部として実施したものであることを付記し、関連電力会社および土木学会・原子力土木委員会・限界状態設計部会（主査：東京大学 岡村 甫教授）に対し謝意を表するものである。

注*) 当時、電力中央研究所に赴向中、現在は大成建設㈱に所属。

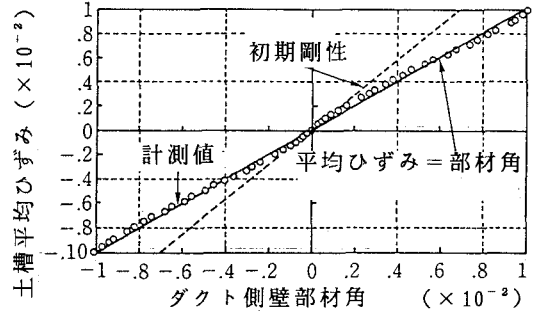


図4 土槽平均ひずみとダクト側壁部材角の関係

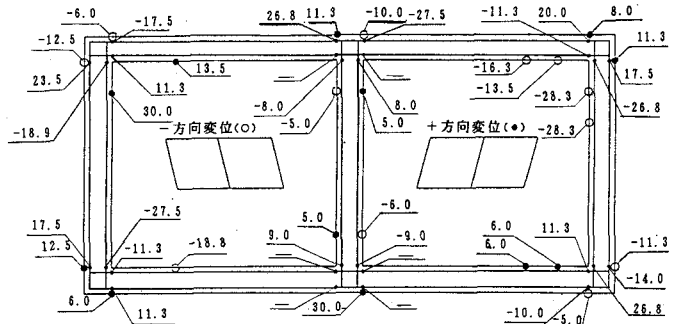


図5 ひびわれ発生、鉄筋降伏時の土槽頂部変位 ○●：ひびわれ発生 ●：鉄筋降伏時